

بررسی تجربی برهم کنش رویه های آلومینیومی با هسته لانه زنبوری در سازه ساندویچ پنل در نفوذ شبه استاتیکی و دینامیکی

فاطمه حسن پور رودبنه^۱, غلامحسین لیاقت^{۲*}, هادی صبوری^۳, همایون هادوی نیا^۴

۱- دانشجوی کارشناسی ارشد، مهندسی مکانیک، دانشگاه تربیت مدرس، تهران

۲- استاد، مهندسی مکانیک، دانشگاه تربیت مدرس، تهران

۳- استادیار، مهندسی مکانیک، دانشگاه خوارزمی، تهران

۴- استاد، مهندسی مکانیک، دانشگاه کینگ استون، لندن

* تهران، صندوق پستی 14115-141، ghlia530@modares.ac.ir

چکیده

در این مقاله نفوذ شبه استاتیک و نفوذ دینامیکی بر روی سازه ساندویچی با رویه های آلومینیومی و هسته لانه زنبوری آلومینیومی به طور تجربی مورد بررسی قرار گرفته است. همچنین نفوذ در هر یک از اجزای سازه ساندویچی (رویه های آلومینیومی و سازه لانه زنبوری) به طور جداگانه بررسی شدند تا تأثیر بر هم کنش رویه های آلومینیومی با هسته لانه زنبوری در میزان انرژی جذب شده و سرعت حدبالاستیک توسط سازه ساندویچی مشخص شود. آزمایش شبه استاتیکی بر روی نمونه های ساخته شده با نفوذ کننده سرتخت به قطر 10 میلی متر با استفاده از دستگاه یونیورسال انجام شده است همچنین آزمایش بالستیک با پرتابه سرتخت به قطر 10 میلی متر و جرم 8.5 گرم با استفاده از دستگاه تفنگ گازی انجام شده است. نتایج آزمایش نفوذ شبه استاتیک جذب شده در دو رویه و سازه لانه زنبوری کمتر از حالتی است که این اجزا به شکل ساندویچ مورد استفاده قرار می گیرند در واقع انرژی جذب شده ساندویچ پنل در مقایسه با این مجموعه (مجموع دو عدد ورق آلومینیومی و لانه زنبوری) 42% بیشتر شده است؛ اما مجموع مقدار نفوذ این اجزا (مجموع دو رویه آلومینیومی و لانه زنبوری) 30% بیشتر از ساندویچ پنل می باشد. در آزمایش بالستیک انرژی بالستیک سازه ساندویچی از اجزاء آن به میزان قابل ملاحظه ای بیشتر می باشد. نتایج به دست آمده از نفوذ شبه استاتیک و نفوذ دینامیکی برتری سازه های ساندویچی به سازه های معمولی را نشان می دهد. بنابراین سازه ساندویچی به عنوان یک سازه جاذب انرژی مناسب می تواند مورد استفاده قرار گیرد.

اطلاعات مقاله

مقاله پژوهشی کامل

دریافت: 26 فروردین 1395

پذیرش: 03 خداد 1395

ارائه در سایت: 23 تیر 1395

کلید واژگان:

سازه ساندویچی

لانه زنبوری

نفوذ شبه استاتیک

آزمایش بالستیک

سرعت حدبالاستیک

Investigation of Interaction between Aluminum Facing and Honeycomb Structure in Quasi-static and Impact Loading

Fatemeh Hassanpour Roudbeneh¹, Gholamhossein Liaghat^{1*}, Hadi Sabouri², Homayoun Hadavinia³

1- Department of Mechanical Engineering, Tarbiat Modares University, Tehran, Iran

2- Department of Mechanical Engineering, Kharazmi University, Tehran, Iran

3- School of Mechanical and Automotive Engineering, Kingston University, London, UK

* P.O.B. 14115-141, Tehran, Iran, ghlia530@modares.ac.ir

ARTICLE INFORMATION

Original Research Paper

Received 14 April 2016

Accepted 07 June 2016

Available Online 13 July 2016

Keywords:

Sandwich panel

Honeycomb structure

Quasi-static penetration

Ballistic impact

Ballistic limit velocity

ABSTRACT

In this paper, the interaction between aluminum facing and honeycomb structure in the quasi-static and the impact loading has been investigated experimentally. The structural elements used in this research were aluminum plate, aluminum 5052 honeycomb structure. The quasi-static penetration tests and ballistic impact experiments were performed on aluminum plate, honeycomb structure and sandwich panel by flat ended penetrator and flat ended projectile respectively. The failure mechanisms, ballistic limit velocities, absorbed energies due to penetration, the damage modes and some structural responses were studied. Also, the effect of interaction between aluminum facing and honeycomb structure in the quasi-static penetration and the ballistic impact response in this honeycomb sandwich panel were discussed and commented upon. Comparing energy absorption in these structures showed that the amount of absorbed energy by the sandwich panel with honeycomb core is more than the absorbed energy by the aluminum plate and honeycomb structure in the quasi-static penetration. These results indicated that, using the honeycomb structure as the core of sandwich panel resulted in increasing the stiffness and the strength of the sandwich panel. The ballistic impact results showed that the absorbed energy and the ballistic limit velocity in the sandwich panel compared with the individual components were increased. Therefore, the sandwich structure can be used as a suitable energy absorber.

اتصال ورقه های بسیار نازک از یک ماده به یکدیگر تشکیل شده است. معمولاً

سلول ها به شکل شش ضلعی منتظم هستند؛ اما می توانند شکل های دیگری

۱- مقدمه

Please cite this article using:

F. Hassanpour Roudbeneh, Gh. Liaghat, H. Sabouri, H. Hadavinia, Investigation of Interaction between Aluminum Facing and Honeycomb Structure in Quasi-static and Impact Loading, *Modares Mechanical Engineering*, Vol. 16, No. 7, pp. 23-31, 2016 (in Persian)

برای ارجاع به این مقاله از عبارت ذیل استفاده نمایید:

سازه لانه زنبوری (کندویی) شبکه ای از سلول های باز (میان تهی) است که از

پلاگ و انرژی جنبشی پلاگ مستهلك می‌گردد. به علاوه دیده شد که نقش اصلی در اتلاف انرژی در برخورد گلوله به اهداف بر عده مکانیزم‌های خمس دیواره سلول‌ها و برش پلاگ تشکیل شده می‌باشد. بوتآگو و همکارانش [7] سوراخ شدن سازه‌های ساندويچی کامپوزیتی را در برخورد گلوله با سرعت بالا مورد بررسی قرار دادند. این مطالعه که هم به صورت تحریبی و هم به صورت عددی با استفاده از نرم‌افزار آباکوس صورت گرفته است، مواردی همچون سرعت خروجی، میزان جذب انرژی، سرعت حد بالستیک و زمان برخورد مورد بررسی قرار گرفته‌اند. نتایج عددی مطابقت بسیار خوبی با نتایج تحریبی داشت. لیاقت و همکارانش [8] مکانیزم نفوذ و عبور گلوله استوانه‌ای سرتخت را در اهداف لانه زنبوری به صورت تئوری و تحریبی بررسی کردند. پیر محمدی و همکارانش [10,9] ضربه سرعت بالا بر روی سازه ساندويچی با رویه کامپوزیتی از جنس الیاف شیشه‌اپوکسی و هسته لانه زنبوری از جنس آلومینیوم را به طور تحریبی مورد بررسی قرار دادند. این بررسی به روش عددی و تحلیلی نیز انجام شد و نتایج مطابقت خوبی با روش تحریبی داشتند. فعلی و نامداری [11] یک مدل تحلیلی برای بررسی رفتار سازه ساندويچی با هسته لانه زنبوری که در معرض ضربه عمودی سرعت بالا قرار داشت، ارائه کردند.

همچنین تحقیقات زیادی روی مدل‌های مختلف سازه ساندويچی در بارگذاری‌های مختلف صورت گرفته است بیشتر نتایج مدل‌های تحلیلی و یا عددی ارائه شده با نتایج روش تحریبی مقایسه شده است در حالی که تحلیل مناسبی روی داده‌های تحریبی صورت نگرفته است. همچنین رفتار سازه‌های ساندويچی در بارگذاری‌های استاتیکی و دینامیکی و برتری سازه‌های ساندويچی نسبت به سازه‌های معمولی به طور دقیق در بارگذاری مرکز بررسی نشده است. یکی از بحث‌های جامانده در روش‌های تحریبی بر روی سازه‌های ساندويچی تأثیر بر هم کنش رویه‌ها و هسته در سازه ساندويچی می‌باشد. که با بررسی این موضوع می‌توان از این سازه‌ها به صورت بهینه و در کاربردهای مناسب استفاده نمود.

در این مقاله نفوذ شبیه استاتیکی و نفوذ دینامیکی بر روی اجزای ساندويچ پنل به صورت جداگانه و همچنین خود سازه ساندويچی با هسته لانه زنبوری انجام شد تا اثر بر هم کنش رویه‌ها و هسته لانه زنبوری در میزان جذب انرژی و سرعت حد بالستیک در سازه ساندويچی بررسی شود.

2- مواد

نمونه‌های آماده شده در این تحقیق، ورق آلومینیومی، لانه زنبوری آلومینیومی و ساندويچ پنل با هسته لانه زنبوری و رویه‌های آلومینیومی می‌باشد و در زیربخش‌های آینده درباره خواص و ابعاد آن‌ها توضیح داده شده است.

2-1- ورق آلومینیومی

ورق آلومینیومی استفاده شده در این پژوهش آلومینیوم 1200 ارak است که ضخامت آن 0.5 میلی‌متر می‌باشد با توجه به فیکسچر طراحی شده ابعاد انتخابی برای این نمونه 75×75 میلی‌متر مربع است (شکل 1). با انجام آزمایش کشش روی ورق آلومینیومی 1200 طبق استاندارد ASTM E8M-[12]04 آورده شده است.

2-2- سازه لانه زنبوری

لانه زنبوری استفاده شده از جنس آلومینیوم H38-5052 می‌باشد. ویژگی‌های این نوع آلومینیوم در جدول 2 آورده شده است [13]. این نوع لانه زنبوری به

نظیر سلول‌های چهار گوش و دایره‌ای نیز داشته باشند. مفهوم اصلی سازه ساندويچی از چسباندن صفحات نازک، متراکم و قوی به سلول‌های لانه زنبوری ضخیم و سبک ایجاد می‌شود. در این محصولات، نسبت استحکام به وزن و سفتی به وزن بالا قابل دسترسی است. لانه زنبوری، پیکربندی بی‌همتا و جالب توجهی از مواد است که امتیازات فراوانی نظیر خواص مکانیکی خوب، خواص برخورد عالی، خاصیت دی الکتریکی پایین، ضرایب انتقال حرارت پایین، توانایی کنترل جریان سیال، خواص صوتی خوب، قابلیت جذب انرژی بالا، مستهلك کردن فرکانس‌های رادیویی و مساحت سطح مقطع پایین در این سلول‌ها را فراهم می‌کند. امروزه سازه‌های لانه زنبوری به دلیل نسبت استحکام به وزن بسیار بالا و همچنین جذب انرژی تا حدود 70% ارتفاع اولیه خود، اهمیت ویژه‌ای در صنایع مختلف اعم از هواپیمایی، حمل و نقل، ساختمان‌سازی و صنایع نظامی اینجا پیدا کرده‌اند. مدت‌ها پیش از این که بشر به تکنولوژی سازه‌های زنبوری دست یابد، این ساختارها در طبیعت وجود داشته‌اند. سابقه تحقیقات بر روی این سازه‌ها به حدود نیم قرن قبل برمی‌گردد و تاکنون هم ادامه دارد [1]. تحقیقات بسیاری بر روی رفتار این سازه‌ها تحت نفوذ پرتابه‌ها، بارگذاری‌های دینامیکی و شبیه استاتیکی (به صورت منفرد یا در ساندويچ پنل‌ها) انجام گرفته است. تعدادی از این تحقیقات به صورت زیر است:

گلداسمیت و ساکمن [2] تأثیر چند پارامتر مانند سرعت، شرایط مرزی، استحکام اتصالات بین هسته هانی کامب و رویه‌های آلومینیومی را روی جذب انرژی در طول نفوذ کامل را به طور تحریبی بررسی کردند. مور و همکاران [3] نحوه تغییر شکل سازه‌های لانه زنبوری و تغییرات تنش برحسب کرنش آن را تا زمان گسیختگی به صورت تحریبی بررسی کردند. آن‌ها بیان نمودند که در ابتدا نمودار حالت الاستیک به صورت خطی می‌باشد و در ادامه حالت الاستیک نمودار به صورت غیرخطی درمی‌آید و زمانی که تنش موضعی و اعمالی بر دیواره سلول‌ها به آستانه تسیلیم می‌رسد، محدوده الاستیک تمام شده و محدوده پلاستیک آغاز می‌گردد. هو و همکاران [5,4] بارگذاری ضربه‌ای و شبیه استاتیکی سازه‌های کندویی را به صورت ترکیب بارهای فشاری و برشی مورد بررسی قرار دادند. در این بررسی که با استفاده از دستگاه هاپکینسون فشاری صورت گرفت، نمونه‌ها تحت بارگذاری در زوایای مختلف قرار گرفتند. این بررسی به روش عددی نیز انجام شد. در این بررسی مشخص گردید که اعمال بارهای ترکیبی، یعنی بار محوری به همراه بار برشی، تأثیر بسزایی در رفع نیروی حداکثر اولیه و کاهش مقاومت لهیدگی اهداف دارد. به علاوه مشخص گردید که دو کمیت مذکور برای حالت دینامیکی همواره بیشتر از حالت شبیه استاتیک می‌باشد. همچنین مطالعه عددی انجام شده مطابقت خوبی در مدهای تغییرشکل و منحنی‌های نیروی فشاری و لهیدگی با روش‌های تحریبی انجام شده داشت و مشخص گردید که مقاومت محوری لانه زنبوری‌ها افزایش نیروی برشی در بار ترکیبی کاهش قابل ملاحظه‌ای می‌باشد. علوی‌نیا و همکارانش [6] سرعت حد بالستیک، انرژی تلف شده و ناحیه صدمه دیده سازه‌های کندویی آلومینیومی را در برخورد عمودی پرتابه‌ها مورد بررسی قرار دادند. در این بررسی سرعت حد بالستیک محاسبه شده برای موارد مختلف مطابقت خوبی با نتایج به دست آمده از رابطه‌ی تحلیلی و پیشنهاد شده، دارد. با مقایسه این نتایج مشخص گردید که اختلاف نتایج به دست آمده تحریبی با کمیت متناظر محاسبه شده از رابطه‌ی تحلیلی دارای خطای کمتر 10 درصد می‌باشد. همچنین مشاهده گردید که انرژی جنبشی گلوله به واسطه مکانیزم‌های خمش دیواره سلول‌ها، پاره شدن دیواره‌ها، برش

همان طور که در "شکل 3" مشخص است، فیکسچر به شکل مربعی و دارای ابعاد داخلی 50×50 میلی متر مربع ساخته شده است. فیکسچر با هشت پیچ M16 در طرفین، به گونه ای سفت می شود تا شرایط مرزی گیردار در مراحلی نمونه ایجاد گردد و برای جلوگیری از لغزش فیکسچر حین آزمون نفوذ شبه استاتیکی، دو پیچ M8 در طرفین آن تعییب شده است تا فیکسچر به میز دستگاه یونیورسال بسته شود. لازم به ذکر است که این فیکسچر دو منظوره ساخته شده است همان طور که در "شکل 4" دیده می شود اولین تکه از سمت راست هم در آزمایش نفوذ شبه استاتیکی و هم در آزمایش بالستیک مورد استفاده قرار می گیرد.

2-3- آزمایش های نفوذ شبه استاتیک

آزمایش های نفوذ شبه استاتیک در آزمایشگاه مکانیک ضربه دانشگاه تربیت مدرس با استفاده از دستگاه یونیورسال که در "شکل 4" مشخص است، انجام شد. نمونه ها در فیکسچر بطور ثابت قرار می گیرد و نفوذ کننده به بخش متحرک دستگاه وصل می شود و با نرخ جابجایی 2 میلی متر بر دقیقه، درون نمونه نفوذ می کند. نیروی وارد شده به هدف، توسط لودس موجود در بالای محل اتصال نفوذ کننده، اندازه گیری می شود. چون در آزمایش بالستیک از پرتا به سرتخت استفاده شده است نفوذ کننده مورد استفاده در این پژوهش دارای دماغه تخت با قطر 10 میلی متر و استحکام نهایی 1200 مگاپاسکال می باشد. نفوذ کننده ساخته شده به گونه ای طراحی شده که به دستگاه پیچ شود و مانع هرگونه لغزش و جابجایی به طرفین باشد. آزمایش مذکور بر روی ورق آلومینیومی، سازه لانه زنبوری و ساندویچ پنل انجام شد و تا نفوذ کامل نفوذ کننده درون هر یک از این نمونه ها و ثابت شدن نمودار نیرو - جابجایی، ادامه یافت.

3-3- آزمایش های بالستیک

آزمایش های بالستیک در آزمایشگاه مکانیک ضربه دانشگاه تربیت مدرس با



Fig. 3 Three pieces of the dual-purpose fixture

شکل 3 سه تکه فیکسچر دو منظوره

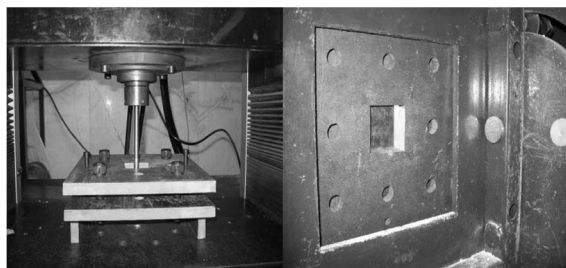


Fig. 4 The quasi-static and dynamic tests of the dual-purpose fixture performance

شکل 4 عملکرد فیکسچر دو منظوره در آزمایش شبه استاتیکی و دینامیکی

جدول 1 خصوصیات مربوط به آلومینیوم 1200

Table 1 The properties of 1200 aluminum

خصوصیات آلومینیوم 1200	مقادیر
E	76 (GPa)
σ_y	131.33 (MPa)
σ_u	133 (MPa)
ϵ_u	8 (%)
ρ	2637 (kg/m^3)

جدول 2 خصوصیات مربوط به جنس لانه زنبوری مورد استفاده در آزمایش ها

Table 2 The properties of 5052-H38 aluminum

خصوصیات آلومینیوم 5052-H38	مقادیر
E	70 (GPa)
ν	0.3
σ_y	255 (MPa)
σ_u	290 (MPa)
τ_u	165 (MPa)
ρ	2680 (kg/m^3)

روش کرکرهای ساخته شده است (شکل 1). ابعاد لانه زنبوری مورد استفاده نیز با توجه به فیکسچر 75x75 میلی متر مربع می باشد و سایر ابعاد آن در "شکل 2" آورده شده است.

2- سازه ساندویچ پنل

لانه زنبوری و ورق آلومینیومی به طور جداگانه در اندازه های 75x75 میلی متر مربع بریده شده اند و سپس توسط رزین به هم چسبانده شده اند (شکل 2). رزین استفاده شده محصول کارخانه شل می باشد که از دو جزء اپوکسی CY219 و سخت کننده HY5161 تشکیل شده که با نسبت وزنی دو به یک ترکیب شده است.

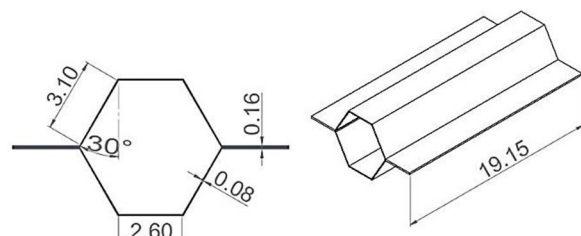
3- شرح آزمایش ها

1- ساخت فیکسچر



Fig. 1 نمونه ها از چپ به راست ورق آلومینیومی، لانه زنبوری و ساندویچ پنل ساخته شده

شکل 1 نمونه ها از چپ به راست ورق آلومینیومی، لانه زنبوری و ساندویچ پنل ساخته شده



شکل 2 ابعاد هندسی هر سلول از سازه لانه زنبوری مورد استفاده در آزمایش ها (mm)

شکل 2 ابعاد هندسی هر سلول از سازه لانه زنبوری مورد استفاده در آزمایش ها (میلی متر)

شده است. شکل تخریب نمونه‌ها با یکدیگر متفاوت بود (شکل ۷).

4-1-1- نفوذ شبه استاتیک در ورق آلومینیومی

پس از انجام آزمایش نفوذ بر روی ورق آلومینیومی، مشاهده شد که سطح بالایی نمونه که با نفوذ کننده در تماس بوده ایجاد سوراخ به اندازه قطر نفوذ کننده است. در "شکل ۷" سطح پشتی در ورق آلومینیوم ایجاد پلاگ^۱ (برش سکمای) کرده است. این رفتار به علت برش پخشی از ورق که در مواجهه با پیشانی سرتخت نفوذ کننده قرار دارد، اتفاق می‌افتد.

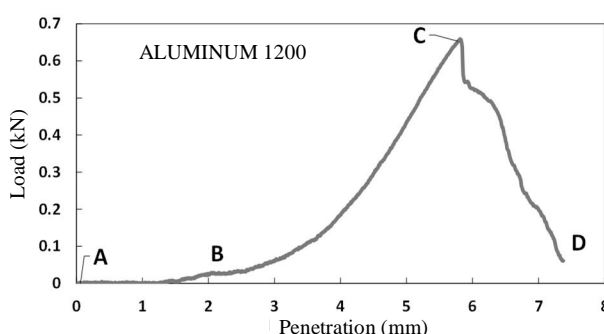
منحنی نیرو- نفوذ برای ورق آلومینیومی در "شکل ۸" ارائه گردیده است. منحنی نشان داده شده در "شکل ۸" را می‌توان به سه بخش تقسیم کرد تا رفتار نفوذ کننده از لحظه نفوذ تا لحظه عبور و خروج از نمونه بررسی گردد. قسمت AB این نمودار مربوط به لحظاتی می‌شود که نفوذ کننده روی نمونه استقرار می‌یابد. بخش مقعر BC نشان دهنده رفتار سفت شوندگی در نمونه با پیشوای نفوذ کننده است. در نقطه C نفوذ کننده ورق را سوراخ کرده است و بیشترین ظرفیت برابری ورق را نمایش می‌دهد. فاصله CD نشان می- دهد نفوذ کننده از ورق خارج می‌شود و لغزش صورت گرفته میان دیواره نفوذ کننده و لبه سوراخ، ایجاد اصطکاک کرده و منحنی نزولی می‌شود.

4-1-2- نفوذ شبه استاتیک در سازه لانه زنبوری

در سازه لانه زنبوری به علت ساختار شبکه‌ای و اتصال چسبی که بین دیواره‌ای مشترک هر سلول وجود دارد شکل نفوذ و تخریب سازه متفاوت بوده است. نفوذ کننده شبکه لانه زنبوری را فشرده نموده و با حرکت تدریجی رو به پایین، بخشی از لانه زنبوری اطراف خود را به همراه خود به سمت پایین کشیده است. وضعیت تخریب در این حالت، ترکیبی از برش و مچالگی خواهد بود.



شکل ۷ تصویر پشت نمونه‌ها بعد از نفوذ شبه استاتیک (از چپ به راست ورق آلومینیومی، لانه زنبوری و ساندويچ پنل)



شکل ۸ نمودار نیرو- نفوذ برای ورق آلومینیومی

¹ Plugging

استفاده از یک تفنگ گازی که طرح شماتیک آن در "شکل ۵" نشان داده شده است، انجام گرفت. برخورد در سرعت‌های مختلف، نزدیک حد بالستیک و سرعت‌های بیش از حد بالستیک اهداف بوده و سرعت‌هایی در مرتبه بوده است.

دستگاه تفنگ گازی مورد استفاده با ایجاد فشار گاز هلیوم یا هوا پشت گالوله باعث سرعت گرفتن و خروج آن از لوله دستگاه می‌گردد. بهمنظور اندازه گیری سرعت اولیه در جلوی تفنگ گازی از یک جفت منبع لیزر و دیود حساس نوری که متصل به یک شمارنده زمان هستند، استفاده شده بود. به دلیل این که پس از نفوذ و خروج پرتابه از هدف، پرتابه از مسیر خود منحرف می‌شود امکان اندازه گیری سرعت خروجی مشابه با روش اندازه گیری سرعت ورودی وجود ندارد.

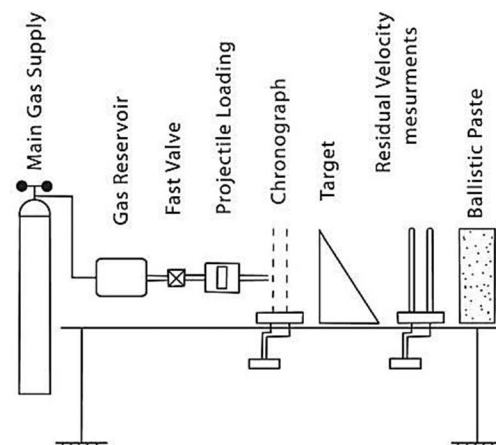
هنگام آزمایش هر یک از نمونه‌ها، درون فیکسچر ساخته شده با ابعاد داخلی ۵۰×۵۰ میلی‌متر مربع به طور ثابت قرار گرفت (شکل ۴). پرتابه (گالوله) یک استوانه فولادی سرتخت به طول ۱۵ میلی‌متر، قطر ۱۰ میلی‌متر، جرم ۸.۵ گرم و سختی RC ۶۰ می‌باشد (شکل ۶).

4- نتایج و بحث

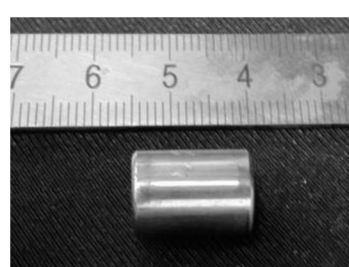
نتایج بدست آمده از آزمایش‌های نفوذ شبه استاتیک و دینامیک به شرح زیر می‌باشد.

4-1- نتایج آزمایش نفوذ شبه استاتیک

آزمایش نفوذ شبه استاتیک بر روی هر یک از اجزای ساندويچ پنل و خود سازه ساندويچی انجام شد که نتایج آن در زیربخش‌های بعدی توضیح داده



شکل ۵ شماتیک از تفنگ گازی [14]



شکل ۶ گالوله مورد استفاده در آزمایش شلیک

کار پلاستیک موضعی انجام شده روی ورق بالایی، باعث رفتار سفت شونده در ورق شده و در نهایت در نقطه E، حداکثر ظرفیت تحمل نیروی فشاری موضعی اتفاق افتاده و یک پلاگ از آن جدا می‌شود. پس از نقطه E، نفوذ کننده از روی بالایی عبور نموده و وارد هسته می‌گردد. در این حالت، نیرو افت نموده و پلاگ بریده شده به پیشانی نفوذ کننده متصل بوده و همراه با پیشروی آن، چین خوردگی کوچکی در دیواره بالایی هسته در ناحیه زیر نفوذ کننده و اطراف آن اتفاق می‌افتد. این عامل، سبب کاهش سفتی موضعی شده است. در نقطه F تا E مشاهده می‌گردد. هسته لانه زنبوری در برابر نفوذ کننده مقاومت نموده و در نقطه G اتصال چسبی بین دیواره‌های آن گسیخته شده و افت موضعی با اتفاق می‌افتد. بین نقاط G تا H، تخریب اتصال چسبی بین دیواره‌های لانه زنبوری افزایش یافته و چین خوردگی و همچنین مچالگی دیواره‌ها، گسترش پیدا می‌کند که افت و خیزهای کوچک و متعدد در این دیواره‌ها، ایجاد می‌شوند. در نقطه H، آخرین بخش از لانه زنبوری زیر پلاگ، بریده شده و سفتی مجموعه ساندویچی به شکل قابل ملاحظه‌ای کاهش می‌یابد. پیشروی نفوذ کننده، با افزایش تراکم بخش‌های بریده شده لانه زنبوری همراه است. فشار نفوذ کننده به بخش متراکم زیر پلاگ، با مقاومت لایه پوششی زیرین همراه بوده و منحنی بار-نفوذ تا نقطه I بالا خواهد رفت. در نهایت در این نقطه، برش گلبرگی و ایجاد یک پتان در ورق زیرین اتفاق می‌افتد. تمایل به خروج بخش بریده شده لانه زنبوری از پتان بریده شده، سبب گسترش آن شده و نقاط J و K را پدید خواهد آورد (شکل 10).

4-1-4- انرژی جذب شده شبیه استاتیکی

با مقایسه انرژی جذب شده در این سازه‌ها مشاهده می‌شود که مقدار انرژی جذب شده در سازه ساندویچی، بیشتر از انرژی جذب شده توسط ورق آلومینیومی و لانه زنبوری بوده است. این مطلب بیانگر این است که لانه زنبوری وقتی به عنوان هسته در سازه ساندویچی مورد استفاده قرار می‌گیرد، سفتی و استحکام مجموعه ساندویچ شده افزایش یافته و در نتیجه میزان انرژی جذب شده‌ی آن افزایش چشمگیر پیدا می‌کند (شکل 11). همچنین این امر را می‌توان با مقایسه سوراخ ایجاد شده در آزمایش نفوذ شبیه استاتیک بر روی هر یک از این سازه‌ها مشاهده کرد. سوراخ ایجاد شده در لانه زنبوری، بزرگ و نامنظم می‌باشد؛ اما با برداشتن رویه بالایی ساندویچ پنل، دیده می‌شود که سوراخ ایجاد شده در آن هم اندازه قطر نفوذ کننده و منظم می‌باشد (شکل 12).

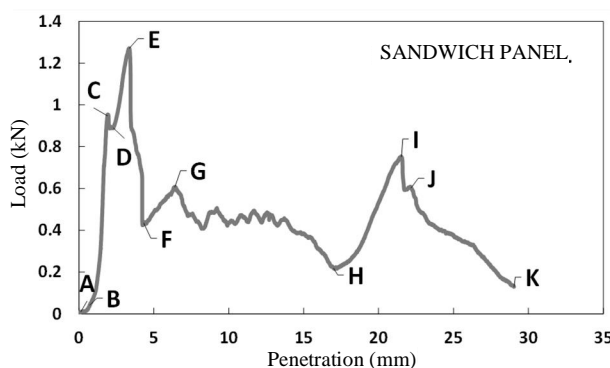


Fig.10 The force-penetration curve of the sandwich panel

شکل 10 نمودار نیرو-نفوذ برای ساندویچ پنل

منحنی نفوذ در سازه لانه زنبوری به شش قسمت تقسیم شده است (شکل 9). همان‌طور که در ورق آلومینیومی به آن اشاره شد، بخش AB نشانگر استقرار نفوذ کننده بر روی نمونه است. فاصله BC بارگذاری دیواره سلول‌ها توسط نفوذ کننده را نشان می‌دهد. این وضعیت، نشان‌گر رفتار غیرخطی از نوع نفوذ شوندگی در هسته لانه زنبوری می‌باشد. از نقطه C به بعد، نفوذ کننده در مرز مشترک سلول‌ها وارد شده و مقدار کمی چین خوردگی موضعی در دیواره سلول‌ها ایجاد می‌نماید که نشان‌گر رفتار نرم‌شونده از C تا D خواهد بود. در فاصله DE منحنی حالت صعودی داشته و پیشروی نفوذ کننده، با مقاومت کششی هسته همراه است. نیروی فشاری نفوذ کننده در نقطه E به مازکیم خود رسیده و از آنجا، تخریب اتصال چسبی میان دیواره سلول‌های اطراف نفوذ کننده و مچالگی سلول‌ها آغاز می‌شود. تخریب لانه زنبوری، چندین برابر سطح مقطع نفوذ کننده بوده و در نقطه F، به حداکثر خود رسید. اصطکاک می‌باشد. آزمایش تا نقطه G ادامه یافته است. فاصله FG، عبور خروج تدریجی نفوذ کننده از هسته، از نقطه F شروع شده و همراه با ایجاد اصطکاک می‌باشد. آزمایش تا نقطه G ادامه یافته است. فاصله E به مازکیم نفوذ کننده از هسته لانه زنبوری را نشان می‌دهد.

4-1-3- نفوذ شبیه استاتیک در سازه ساندویچی

نفوذ کننده به هنگام نفوذ در سازه ساندویچ پنل ابتدا در صفحه رویی آلومینیومی ایجاد پلاگ کرده و بعد از آن وارد لانه زنبوری شده و به هنگام خروج از صفحه پشتی آلومینیومی، با بیرون راندن بخش مچاله شده لانه زنبوری تخریب شده ایجاد پتان¹ (غچه شدن) کرده است. پتان در نزدیکی لبه نفوذ کننده اتفاق می‌افتد و این شکست نتیجه ممان‌های خمشی و نیروهای برشی در صفحه پوششی پایینی در نمونه می‌باشد.

آنچه در سازه ساندویچ پنل وجود دارد ترکیب دو رفتار قبلی (نفوذ در ورق آلومینیومی و سازه لانه زنبوری) می‌باشد. منحنی ساندویچ پنل دارای نه بخش است. در ابتدا فاصله AB بیانگر نشستن نفوذ کننده بر روی پنل ساندویچی است. با پیش‌روی نفوذ کننده، منحنی نیرو-نفوذ فرم معقر داشته و نشان‌دهنده رفتار سفت شوندگی نمونه در بخش BC می‌باشد. با افزایش نیرو تنش برشی در فصل مشترک هسته لانه زنبوری و رویه بالایی افزایش یافته؛ سبب تخریب موضعی اتصال رزینی شده و سفتی به شکل موضعی از C تا D افت می‌کند. پس از نقطه D، با جدایش موضعی ورق بالایی از پنل ساندویچی، پیشروی نفوذ کننده با پلاستیسیته، کشیدگی موضعی ورق، مچالگی و چین خوردگی در بخش بالایی دیواره لانه زنبوری همراه می‌باشد.

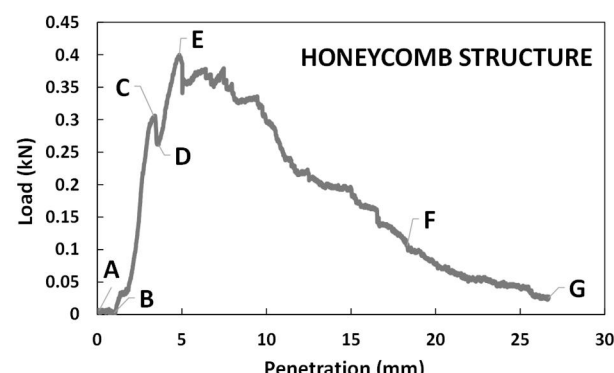


Fig.9 The force-penetration curve of the honeycomb structure

شکل 9 نمودار نیرو-نفوذ برای سازه لانه زنبوری

¹ Petaling

توجه به انرژی بدبست آمده برای هر نمونه و با دانستن جرم گلوله سرتخت (8.5 گرم) که در آزمایش شلیک مورد استفاده قرار خواهد گرفت حد پایین سرعت اولیه برای هر نمونه محاسبه شده است. که برای ورق آلومینیومی، سازه لانه زنبوری و سازه ساندويچی به ترتیب 18، 33 و 52 متر بر ثانیه می باشد. تقریباً 20% تا 25% بیشتر از این مقادیر سرعت اولین شلیک روی هر یک از نمونه ها می باشد و با توجه به نفوذ پرتا به در اهداف و همچنین تعريف حد بالستیک کاهش یا افزایش سرعت برای شلکیک های بعدی تعیین می شود. نتایج بدبست آمده از نفوذ دینامیکی برای هر یک از سازه ها در زیربخش های بعدی توضیح داده شده است.

4-1-2- شکل تخریب

آزمایش های شلیک برروی ورق آلومینیومی، سازه لانه زنبوری، ساندويچ پنل با هسته لانه زنبوری انجام شد. آزمایش های شلیک در سرعت های مختلف انجام شد تا سرعت حد بالستیک برای هر نمونه پیدا شود. با بررسی نمونه ها چندین حالت برای ورود و خروج گلوله به اهداف پیش بینی می شود. این امر به علت ساختار های متفاوت سازه ها نیز می باشد.

در ورق آلومینیومی گلوله به اندازه قطر خود در سطح جلویی هدف سوراخ ایجاد کرده و در نهایت به هنگام خروج در سطح پشتی ورق آلومینیوم ایجاد پلاگ کرده است.

در سازه های لانه زنبوری شکل نفوذ متفاوت است. اغلب در این سازه ها انحراف گلوله به هنگام ورود و خروج از اهداف مشاهده می شود که این امر به خاطر وجود ساختار لانه زنبوری می باشد. در سازه لانه زنبوری به علت ساختار شبکه ای و اتصال چسبی که بین دیواره های مشترک هر سلول وجود دارد پرتا به شبکه لانه زنبوری را فشرده نموده و با حرکت رو به جلو، بخشی از لانه زنبوری اطراف خود را به همراه خود به سمت خارج کشیده است. وضعیت تخریب در این حالت، ترکیبی از برش و مچالگی خواهد بود.

در ساندويچ پنل ها ابتدا گلوله در رویه جلویی ایجاد پلاگ می کند و به علت سرعت بالای گلوله جدایش موضعی بین رویه جلویی و هسته ایجاد می شود پس از آن گلوله به همراه پلاگ کنده شده از رویه جلویی وارد هسته می شود. به هنگام خروج گلوله و قسمت های تخریب شده هسته، جدایش موضعی بین هسته و رویه پشتی ایجاد می شود و در نهایت گلوله با قسمت های کنده شده از صفحه پشتی خارج می شود و در آن ایجاد پلاگ می کند (شکل 14).

یکی از مشاهده ها پس از انجام تست های شلیک انحراف گلوله در بعضی از اهداف بود. علت این انحراف موقعیت پرتا به نسبت به هدف بود. در واقع گلوله یا از ابتدا با انحراف وارد هدف شده بود یا پس از ورود به هسته منحرف شده بود که علت دوم به خاطر ساختار سازه لانه زنبوری می باشد. با توجه به بررسی لیاقت و همکارانش [8] چهار محل را به عنوان موقعیت های احتمالی برخورد پرتا به هدف تعیین نمودند. برای بررسی کامل برخورد و در نظر گرفتن شرایط برخورد به شکل دقیق تر، در این تحلیل دو محل برای برخورد گلوله به لانه زنبوری در نظر گرفته شده است؛ موقعیت C و D که در "شکل 15" موقعیت این دو محل را نشان می دهد. محل اول وسط سلول لانه زنبوری و محل دیگر نقطه اتصال دیواره ها به یکدیگر است.

در "شکل 16" انحراف گلوله به هنگام خروج از سازه ساندويچی مشاهده می شود و همچنین پتال متفاوت ایجاد شده در سازه ساندويچی که در این شکل نشان داده شده است بیانگر خروج پرتا به بدون انحراف از هدف بوده است.

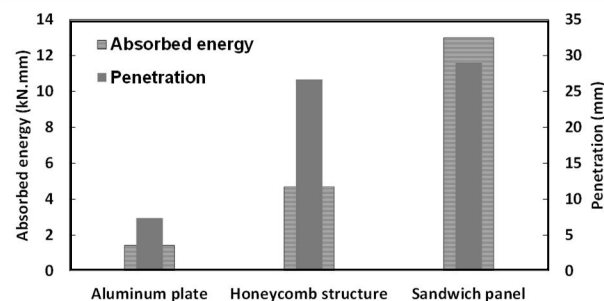


Fig. 11 The comparison of the energy absorption and penetration curves related to each specimen

شکل 11 مقایسه نمودار های مربوط به انرژی جذب شده و نفوذ برای هر سه نمونه

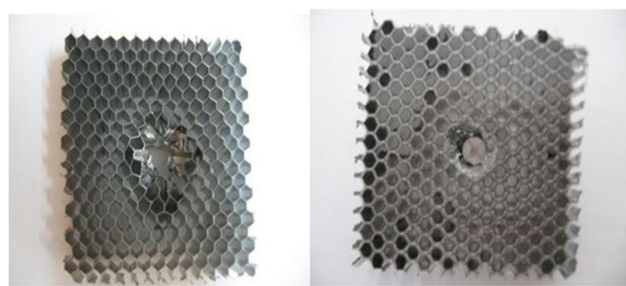


Fig. 12 The perforation (From left to right honeycomb structure and sandwich panel without the upper facing)

شکل 12 سوراخ شدگی (از چپ لانه زنبوری و ساندويچ پنل بدون رویه جلویی)

همان طور که گفته شد سازه ساندويچی از دو رویه آلومینیومی و هسته لانه زنبوری آلومینیومی تشکیل شده است. مجموع انرژی جذب شده هر یک از این اجزاء به طور جداگانه با انرژی جذب شده سازه ساندويچی مقایسه شد که در این حالت نیز انرژی جذب شده در ساندويچ پنل بیشتر از حالتی بوده است که دو ورق آلومینیومی به علاوه سازه لانه زنبوری بدون ساندويچ شدن جذب کردند. با بررسی نفوذ دیده شد مقدار نفوذ در ساندويچ پنل کمتر از دو ورق آلومینیومی به علاوه لانه زنبوری بوده است. بنابراین سازه ساندويچی با نفوذ کمتر انرژی جذب شده بیشتری دارد و به عنوان یک سازه جاذب انرژی مناسب می تواند مورد استفاده قرار گیرد (شکل 13).

4-2- نتایج آزمایش بالستیک

یکی از اهداف آزمایش نفوذ شبیه استاتیک بدبست آوردن انرژی جذب شده استاتیکی است تا بتوان طبق رابطه انرژی جنبشی حد پایین سرعت اولیه هر یک از نمونه ها را برای انجام آزمایش های پرسرعت بدبست آورد. بنابراین با

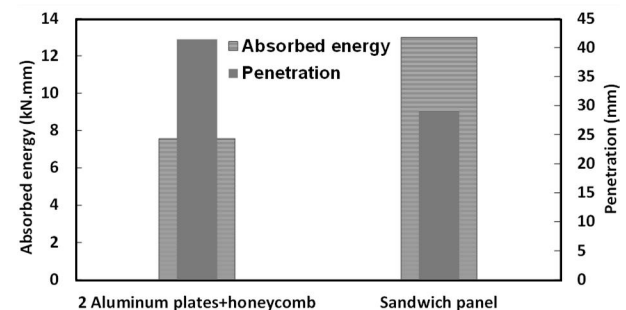


Fig. 13 The penetration and absorbed energy comparison chart of the sandwich panel with two aluminum facing and honeycomb structure

شکل 13 نمودار مقایسه نفوذ و انرژی جذب شده در ساندويچ پنل با مجموع دو رویه آلومینیومی و سازه لانه زنبوری

گلوله در سرعت های بالاتر از حد بالستیک مربوط به هر نمونه از آن عبور کرده است و در سرعت های پایین تر در نمونه گیر کرده است. در "شکل 17" گلوله به علت سرعت کم در سازه ساندویچی گیر کرده است و نتوانسته از آن عبور نماید.

2-2-4- سرعت حد بالستیک

پس از پایان آزمایش های شلیک، داده های مربوط به سرعت ورودی و خروجی برای هر آزمایش بررسی شد.

تاکنون تعریف واحدی برای محاسبه حد بالستیک بیان نشده است و در مراجع مختلف تعاریف گوناگونی برای آن ارائه شده است. یکی از آن تعاریف محاسبه سرعت حد بالستیک به روش میانگین است در این روش مقدار میانگین بیشترین سرعتی که نفوذ کامل رخ نداده باشد و کمترین سرعتی که نفوذ کامل رخ داده باشد، حد بالستیک نامیده می شود.

بر این اساس سرعت حد بالستیک به روش میانگین برای نمونه های آزمایش شده محاسبه شد که نتایج آن به شرح زیر است.

همان طور که در جدول 3 مشاهده می شود سرعت حد بالستیک ساندویچ پنل افزایش قابل ملاحظه ای نسبت به هر یک از اجزا سازنده اش داشته است. بنابراین در نفوذ دینامیکی نیز سازه ساندویچی برتری ویژه ای نسبت به سازه های معمولی دارد.

3-2-4- انرژی حد بالستیک

با دانستن سرعت حد بالستیک و جرم گلوله مورد استفاده در آزمایش ها انرژی بالستیک از رابطه انرژی جنبشی ($E=mv^2/2$) محاسبه می شود. با بررسی نتایج همان طور که در نفوذ شبه استاتیک دیده شد، سرعت حد بالستیک و انرژی جذب شده در ساندویچ پنل افزایش قابل ملاحظه ای نسبت به هر یک از اجزای ساندویچ پنل (ورق و سازه لانه زنبوری) به طور جداگانه داشته است (شکل 18).



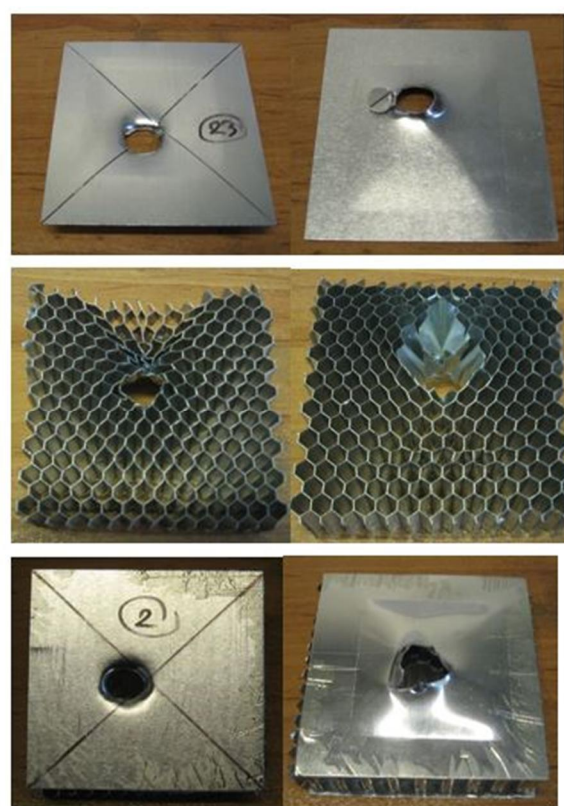
Fig.17 An example of the projectile stuck in the sandwich structure

شکل 17 نمونه ای از گیر کردن گلوله در سازه ساندویچی

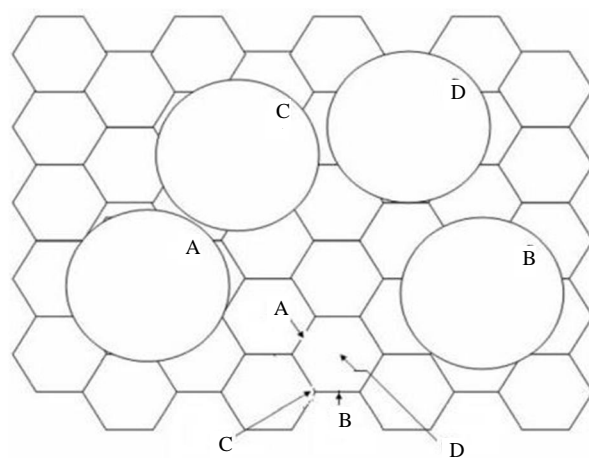
جدول 3 نتایج مربوط به سرعت حد بالستیک هر یک از نمونه ها

Table 3 The results of the specimens ballistic limit velocity

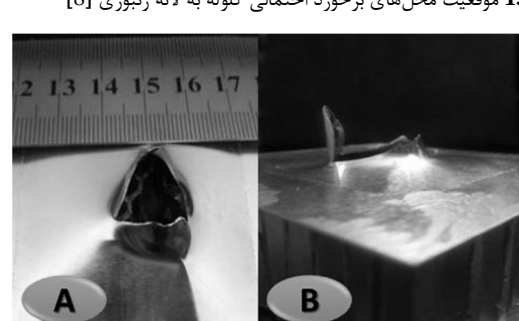
نمونه	سرعت حد بالستیک (متر ثانیه)
ورق آلومینیومی 1200	36.5
سازه لانه زنبوری	50.5
ساندویچ پنل	72.75



شکل 14 تصویر جلو و پشت نمونه ها پس از عبور گلوله



شکل 15 موقعیت محل های برخورد احتمالی گلوله به لانه زنبوری [8]



شکل 16 A) نفوذ گلوله بدون انحراف B) نفوذ گلوله با انحراف

سه قسّت (مجموع دو عدد ورق آلومینیومی و لانه زنبوری) بطور جداگانه تست نفوذ شبه استاتیک شوند در هر کدام برای خروج نفوذ‌کننده ایجاد اصطکاک جداگانه می‌شود که این امر در مجموع این سه قسمت تاثیر بسزایی دارد و این باعث شده مقدار نفوذ در این مجموعه 30% بیشتر از ساندویچ پنل باشد.

- در آزمایش بالستیک سرعت حد بالستیک سازه ساندویچی 72.7 متر بر ثانیه و سرعت حد بالستیک سازه لانه زنبوری و ورق آلومینیومی به ترتیب 50.5 و 36.5 متر بر ثانیه بوده است. حد بالستیک ساندویچ پنل افزایش چشمگیری نسبت به هریک از اجزا داشته است که این امر نشان‌دهنده اثر برهم کش رویه آلومینیومی با سازه لانه زنبوری می‌باشد.

- تأثیر برهم کنندگی رویه‌های آلومینیومی با هسته لانه زنبوری در آزمایش بالستیک باعث تقریباً دو برابر و چهار برابر شدن انرژی بالستیکی سازه ساندویچی نسبت به سازه لانه زنبوری و ورق آلومینیومی به ترتیب شده است. بنابراین برهم کنندگی رویه‌های آلومینیومی و هسته لانه زنبوری در سازه ساندویچی تأثیر چشمگیری در افزایش میزان انرژی جذب شده و سرعت حد بالستیک این سازه دارد و مقایسه آن با هریک از اجزا بیانگر برتری سازه ساندویچی نسبت به سازه‌های معمولی می‌باشد و این امر سبب می‌شود ساندویچ پنل به عنوان یک سازه جاذب انرژی خوب در صنایع مختلف مورد استفاده قرار گیرد.

6- فهرست علایم

E مدول الاستیسیتیه (GPa)

علایم یونانی	معنی
ϵ_u	کرنش پارگی
v	ضریب پواسن
ρ	چگالی (kg/m^3)
σ_u	استحکام کششی نهایی (MPa)
σ_y	استحکام تسلیم (MPa)
τ_u	استحکام برشی نهایی (MPa)

7- مراجع

- [1] T. Bitzer, *Honeycomb Technology- Material Design, Manufacturing Applications and Testing*, pp. 10-42, London: Springer Netherlands, 1997.
- [2] W. Goldsmith, J. L. Sackman, An experimental study of energy absorption in impact on sandwich plates, *International Journal of Impact Engineering*, Vol. 12, No. 2, pp. 241-262, 1992.
- [3] D. Mohr, M. Doyoyo, Deformation-induced folding systems in thin-walled monolithic hexagonal metallic honeycomb, *International Journal of Solids and Structures*, Vol. 41, No. 11, pp. 3353-3377, 2004.
- [4] B. Hou, A. Ono, S. Abdennadher, S. Pattofatto, Y. L. Li, H. Zhao, Impact behavior of honeycombs under combined shear-compression, Part I: Experiments, *International Journal of Solids and Structures*, Vol. 48, No. 5, pp. 687-697, 2011.
- [5] B. Hou, S. Pattofatto, Y. L. Li, H. Zhao, Impact behavior of honeycombs under combined shear-compression, Part II: Analysis, *International Journal of Solids and Structures*, Vol. 48, No. 5, pp. 698-705, 2011.
- [6] A. Alavi Nia, S. Razavi, G. Majzoobi, Ballistic limit determination of aluminum honeycombs—experimental study, *Materials Science and Engineering*, Vol. 448, No. 1, pp. 273-280, 2008.
- [7] B. L. Buitrago, C. Santiste, S. Sanchez-Saez, E. Barbero, C. Navarro, Modelling of composite sandwich structures with honeycomb core subjected to high-velocity impact, *Composite Structures*, Vol. 92, No. 9, pp. 2090-2096, 2010.

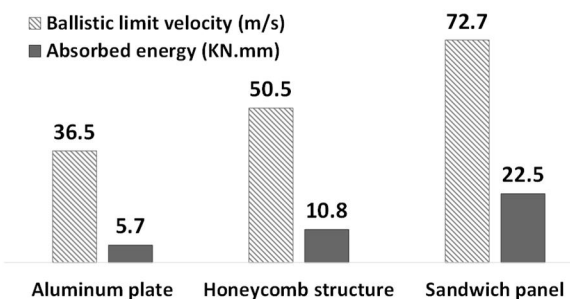


Fig .18 The ballistic limit velocity and ballistic energy comparison between the components of the sandwich panel and sandwich structure

شکل 18 مقایسه سرعت حد بالستیک و انرژی بالستیک بین اجزای ساندویچ پنل با خود سازه ساندویچی

به علت این که سرعت حد بالستیک یک پارامتر تقریبی می‌باشد و همچنین میزان خطای آن به علت سرعت بالا زیاد است نمی‌توان در این بخش همانند آزمایش نفوذ شبه استاتیک انرژی جذب شده بین مجموع دو ورق آلومینیومی به علاوه لانه زنبوری را با سازه ساندویچی مقایسه کرد. اما با توجه به "شکل 18" انرژی جذب شده دینامیکی سازه ساندویچی در مقایسه با هریک از دو جزء تفاوت قابل ملاحظه‌ای دارد. که این موضوع بیانگر برتری سازه ساندویچی حتی در نفوذ دینامیکی نیز می‌باشد.

5- نتیجه‌گیری

در تحقیق حاضر اثر برهم کنندگی رویه‌های آلومینیومی و سازه لانه زنبوری بر میزان انرژی جذب شده و سرعت حد بالستیک در سازه ساندویچی بررسی شد. نفوذ و انرژی جذب شده در سازه ساندویچی، لانه زنبوری و ورق آلومینیوم از آزمایش نفوذ شبه استاتیک و سرعت حد بالستیک و انرژی جذب شده بالستیکی از آزمایش شلیک به دست آمد. با مشاهده آزمایش‌های انجام شده می‌توان به نتایج زیر دست یافت:

- وقتی اجزای ساندویچ پنل به طور جداگانه مورد آزمایش نفوذ شبه استاتیک قرار گرفتند میزان انرژی جذب شده در ورق آلومینیومی 1.44 ژول و در لانه زنبوری 4.69 ژول بود در حالی که انرژی جذب شده توسط ساندویچ پنل 12.99 ژول شد این نتایج نشان می‌دهد انرژی جذب شده ساندویچ پنل در مقایسه با تک تک اجزا افزایش چشمگیری دارد.

علت این است که در ورق آلومینیوم به علت ضخامت کم و استحکام پایین به محض نشستن نفوذ‌کننده روی نمونه شروع به سوراخ کردنش می‌کند با مقایسه "شکل‌های 8 و 10" دیده خواهد شد ورق آلومینیوم استفاده شده در رویه ساندویچ پنل مقاومت بیشتری نشان می‌دهد و نقطه سوراخ شدگی بالاتری نسبت به حالی که ورق آلومینیومی بصورت جداگانه آزمایش شده است را دارد و این به خاطر وجود هسته در زیر رویه بالایی می‌باشد همچنین با مقایسه "شکل‌های 9 و 10" سطح منحنی مربوط به هسته در ساندویچ پنل بیشتر از لانه زنبوری جداگانه است و این به خاطر رویه بالایی و پایینی می‌باشد که استحکام هسته (کندویی) را بالا برده است.

- با مجموع انرژی دو رویه آلومینیومی و لانه زنبوری در نفوذ شبه استاتیک دیده شد که انرژی جذب شده باز هم کمتر از حالت ساندیچ شده بود و انرژی جذب شده ساندویچ پنل در مقایسه با این مجموعه (دو عدد ورق آلومینیومی + لانه زنبوری) 42% بیشتر می‌باشد اما مقدار نفوذ در ساندویچ پنل کمتر از این مجموعه است و به علت این است که وقتی هر یک از این

- sandwich panels with honeycomb core subjected to high-velocity impact, *Composites Part B: Engineering*, Vol. 43, No. 5, pp. 2439-2447, 2012.
- [12] Standard, A. E8. *Standard test method for tension testing of metallic materials*. West Conshohocken (USA): ASTM. 2004.
- [13] N. Abdolrahim, GH. Liaghat, H. A. Askari, Experimental study of low velocity impact on Sandwich panels with honeycomb core and Comparison with the FEM results, *A A* , Vol. 49, No. 1, pp. 45, 2008.
- [14] H. Ahmadi, GH. Liaghat, H. Sabouri, E. Bidkhouri, Investigation on the high velocity impact properties of glass-reinforced fiber metal laminates, *Journal of Composite Materials*, Vol. 47, No. 13, pp. 1605-1615, 2012.
- [8] GH. Liaghat, A. Alavi Nia, H. R. Daghayani, M. Sadighi, Ballistic limit evaluation for impact of cylindrical projectiles on honeycomb panels, *Thin-Walled Structures*, Vol. 48, No. 1, pp. 55-61, 2010.
- [9] N. Pirmohammadi, G. H. Liaghat, M. H. Pol, Experimental investigation on ballistic behavior of sandwich panels made of honeycomb core, *Modares Mechanical Engineering*, Vol. 14, No. 4, pp. 21-26, 2014. (in Persian فارسی)
- [10] N. Pirmohammadi, G. H. Liaghat, M. H. Pol, H. Sabouri, Analytical, experimental and numerical investigation of sandwich panels made of honeycomb core subjected projectile impact, *Modares Mechanical Engineering*, Vol. 14, No. 6, pp. 153-164, 2014. (in Persian فارسی)
- [11] S. Feli and MH. Namdari Pour, An analytical model for composite